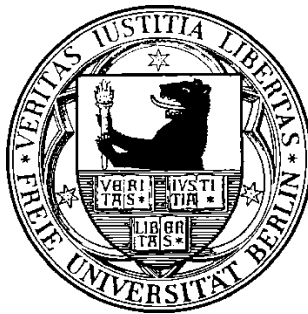


# Multifunktionale Nukleinsäure-Konjugate zur Selektion von katalytischen Oligonukleotiden



Dissertation  
zur Erlangung des Doktorgrades  
am Fachbereich Biologie, Chemie, Pharmazie  
der Freien Universität Berlin

vorgelegt von  
**Felix Hausch**  
geb. am 21.2.1971  
in Stuttgart

April 2000

Diese Arbeit wurde in der Zeit von November 1996 bis März 2000 am Institut für Chemie/Biochemie der Freien Universität Berlin angefertigt. Der Verfasser versichert, die Arbeit eigenständig durchgeführt und alle Hilfsmittel angegeben zu haben.

Gutachter: Prof. Dr. V. A. Erdmann  
Prof. Dr. H.-U. Reißig

Tag der Disputation: 26. Juni 2000

## **Danksagungen**

Mein besonderer Dank gilt Dr. Andres Jäschke für die interessante Themenstellung und für sein intensives Engagement bei der Betreuung dieser Arbeit. Unsere wissenschaftlichen Diskussionen über die Schreibtische hinweg waren extrem wertvoll zur Erlangung einer akademischen Reife.

Mein herzlicher Dank gilt auch Prof. Dr. V. A. Erdmann für seine wohlwollende Unterstützung und die ausgezeichneten Arbeitsbedingungen.

Herzlich bedanken möchte ich mich bei den Mitgliedern der Arbeitsgruppe Jäschke für die angenehme Atmosphäre, die ein konstruktives Arbeiten erst ermöglicht. Insbesondere zu erwähnen sind hierbei Dr. Burckhard Seelig und Christian Frauendorf, die mir während der ganzen Zeit der Promotion zur Seite standen und mit denen ich viele schöne Erinnerungen auch außerhalb des Labors teile. Dr. Fritz Struhlmann war stets ein kompetenter Ratgeber und hervorragender Lektor.

Diese Arbeit wäre nicht möglich gewesen ohne die ausgezeichneten MALDI-TOF-spektroskopischen Untersuchungen von Dr. E. Nordhoff, Dr. S. Hahner und Dr. P. Franke. Sehr wichtig waren auch die Massen- und NMR-spektroskopischen Charakterisierungen durch Dr. Holzmann bzw. Dr. Schäfer. Tiefen Dank schulde ich Dr. S. Ring für seine Unterstützung bei den ersten Laser-Experimenten sowie Dr. W. Schröder für die Hilfestellung bei Problemen mit der Oligonukleotid-Synthese. G. Buchlow war sehr hilfsbereit bei den Fluoreszenzanalysen. Herrn O. Landt sei gedankt für die Benutzung des präparativen Synthese-Automaten.

Herzlich bedanken möchte ich mich bei meinen studentischen Mitarbeitern C. Schatz, J. Schlatterer, N. Gül und T. Willemsen für ihr Engagement in den jeweiligen Projekten.

Besonderen Dank schulde ich Peter Maleh für seine Hilfestellung bei verschiedenen Software-Problemen.

Bedanken möchte ich mich ferner bei meiner Freundin A. Blioumi für ihren Rückhalt in Phasen der wissenschaftlichen Stagnation und der experimentellen Rückschläge.

Da diese Dissertation einen wichtigen Abschluss in meiner Ausbildung darstellt, richte ich an dieser Stelle einen besonderen Dank an meine Eltern, ohne die mein Studium nicht möglich gewesen wäre.

# Inhaltsverzeichnis

<b>1</b>	<b>EINLEITUNG</b>	<b>1</b>
<b>1.1</b>	<b>Biokombinatorik und katalytische Oligonukleotide</b>	<b>1</b>
<b>1.2</b>	<b>In vitro Selektion von funktionellen Nukleinsäuren</b>	<b>3</b>
<b>1.3</b>	<b>Direkte Selektion von Ribozymen</b>	<b>7</b>
<b>1.4</b>	<b>Selektion mit linkergekoppelten Reaktanten</b>	<b>9</b>
<b>1.5</b>	<b>Selektion mit spaltbaren Linkern (Linker der zweiten Generation)</b>	<b>11</b>
<b>1.6</b>	<b>Katalytische Desoxyribonukleinsäuren</b>	<b>13</b>
<b>2</b>	<b>AUFGABENSTELLUNG</b>	<b>14</b>
<b>3</b>	<b>METHODEN</b>	<b>15</b>
<b>3.1</b>	<b>Allgemeines</b>	<b>15</b>
<b>3.2</b>	<b>Organische Synthesen</b>	<b>15</b>
3.2.1	Dünnschicht-Chromatographie (DC)	15
3.2.2	1- <i>o</i> -Nitrophenyl-3-buten-1-ol	5
3.2.3	1- <i>o</i> -Nitrophenyl-1,3-propandiol	6
3.2.4	1- <i>o</i> -Nitrophenyl-3-O-dimethoxytrityl-1,3-propandiol	7
3.2.5	1- <i>o</i> -Nitrophenyl-1-O-(2-cyanoethyl-N,N-diisopropylphosphoramidyl)-3-O-dimethoxytrityl-1,3-propandiol	9
3.2.6	4-[2-Methoxy-4-(1-hydroxyethyl)-5-nitrophenoxy]-butanol	12
3.2.7	1-[4,4'-Dimethoxytrityloxy]-4-[2-methoxy-4-(1-hydroxyethyl)-5-nitrophenoxy]-butan	14
3.2.8	1-[4,4'-Dimethoxytrityloxy]-4-[2-methoxy-4-(1-[2-cyanoethyl-N,N'-diisopropylphosphoramiditoxy]-ethyl)-5-nitrophenoxy]-butan	16
3.2.9	4-[2-Methoxy-4-(1-[4,4'-dimethoxytrityl]-ethyl)-5-nitrophenoxy]-butansäure	11
3.2.10	4-[2-Methoxy-4-(1-[4,4'-dimethoxytrityl]-ethyl)-5-nitrophenoxy]-butanol	13
3.2.11	1-[2-Cyanoethyl-N,N'-diisopropylphosphoramiditoxy]-4-[2-methoxy-4-(1-[4,4'-dimethoxytrityl]-ethyl)-5-nitrophenoxy]-butan	15
3.2.12	4-DMTr-O-buttersäure	23
3.2.13	4-Hydroxybutyryl-amidoalkyl-CPG 500	24
3.2.14	Synthese der carboxyl-generierenden Festphasen	25
3.2.15	N-(6-Purinyl)-capronsäure	30a
3.2.16	N-(6-Purinyl)-caproyl-N-oxysuccinimid	31a
3.2.17	Nicotinyl-N-oxy-succinimid	31b
3.2.18	Orotidyl-N-oxy-succinimid	31c
3.2.19	$\omega$ -(9-Methylantracen)-PEG600-(2-cyanoethyl-N,N-diisopropyl)-phosphoramidit	44

<b>3.3</b>	<b>Festphasensynthese von Oligonukleotiden und deren Modifikation</b>	<b>27</b>
3.3.1	Synthese der Dinukleotidanaloga 1 und 3	27
3.3.2	Synthese des amino-terminalen Dinukleotides 2a	29
3.3.3	Präparative Synthese von 2b	29
3.3.4	Synthese des randomisierten DNA Pools	29
3.3.5	Synthese des Anthracen-modifizierten Primers 45	30
3.3.6	Synthese des amino-funktionalisierten, photospaltbaren Primers 47	30
3.3.7	Biotinylierung mit N-Hydroxy-sulfosuccinimid-estern	30
3.3.8	Derivatisierung mit NHS-Estern	31
3.3.9	EDC-Kopplung der carboxylierten Dinukleotide	31
<b>3.4</b>	<b>Aufarbeitung und Charakterisierung von Nukleinsäuren</b>	<b>32</b>
3.4.1	Hochdruckflüssigkeitschromatographie (HPLC)	32
3.4.2	MALDI-TOF Massenspektroskopie	32
3.4.3	Polyacrylamid-Gelelektrophorese (PAGE)	33
3.4.4	Autoradiogramme	33
3.4.5	Gelelution	33
3.4.6	Ethanol-fällung	34
3.4.7	Phenol/Chloroform-Extraktion	34
3.4.8	Radioaktivitätsmessungen	34
3.4.9	Agarose-Gelelektrophorese	35
3.4.10	Photometrische Quantifizierung	35
3.4.11	Nachweis durch das HABA/Avidin-Reagenz	36
<b>3.5</b>	<b>Molekularbiologische Methoden</b>	<b>36</b>
3.5.1	T7-Transkription	36
3.5.2	T4-RNA-Ligation	37
3.5.3	Reverse Transkription und Polymerasekettenreaktion (PCR)	37
3.5.4	Radioaktive 5'-Markierung	38
<b>3.6</b>	<b>In vitro Selektion mit photospaltbaren Linkern</b>	<b>39</b>
3.6.1	Laserspaltung in Lösung	39
3.6.2	Laserspaltung von der Festphase	39
3.6.3	Immobilisierung und photolytische Selbstspaltung	39
3.6.4	Klonierung	40
3.6.5	Charakterisierung selbstspaltender RNA-Sequenzen	41
3.6.6	Herstellung einzelsträngiger Anthracen-DNA-Konjugate	41
3.6.7	Selektion von Diels-Alder-Reaktionsprodukten	42
<b>4</b>	<b>ERGEBNISSE</b>	<b>43</b>
<b>4.1</b>	<b>Konzeption der photospaltbaren Linker</b>	<b>43</b>
4.1.1	Synthese des photoaktiven Phosphoramidits	44
4.1.2	Synthese von photospaltbaren Phosphoramiditen auf Nitroveratryl-Basis	46
4.1.3	Automatisierte Festphasensynthesen der Dinukleotidanaloga	47
4.1.4	Charakterisierung der photospaltbaren Dinukleotide	51
4.1.5	Synthese der carboxyderivatisierten Dinukleotide	53
<b>4.2</b>	<b>Derivatisierung der Dinukleotidanaloga</b>	<b>55</b>
4.2.1	Kopplung mit aktivierten NHS-Estern	55

4.2.2	Synthese NHS-aktivierter Reaktanten	56
4.2.3	Konjugation mit komplexen Reaktanten	58
<b>4.3</b>	<b>Selektionsschema mit photospaltbaren Linkern</b>	<b>60</b>
4.3.1	Ligation mit T4-RNA-Ligase	60
4.3.2	Photospaltung der Oligonukleotidkonjugate	61
4.3.3	Simulation eines Selektionzyklus	62
<b>4.4</b>	<b>Präparation der kombinatorischen Nukleinsäurebibliotheken</b>	<b>65</b>
<b>4.5</b>	<b>Selektion nach Photoredoxribozymen</b>	<b>67</b>
<b>4.6</b>	<b>Selektion nach Desoxyribozymen</b>	<b>70</b>
4.6.1	Synthese modifizierter Primer-Derivate	70
4.6.2	Herstellung einzelsträngiger DNA-Konjugat Bibliotheken	72
4.6.3	Selektion nach DNA Diels-Alderasen	74
<b>5</b>	<b>DISKUSSION</b>	<b>77</b>
<b>5.1</b>	<b>Theorie der <i>in vitro</i> Selektion</b>	<b>77</b>
<b>5.2</b>	<b>Modifikation von Nukleinsäuren</b>	<b>78</b>
<b>5.3</b>	<b>Selektion von Ribozymen</b>	<b>82</b>
<b>5.4</b>	<b>DNA-Selektion mit linkergekoppelten Reaktanten</b>	<b>84</b>
<b>5.5</b>	<b>Ausblick</b>	<b>85</b>
<b>6</b>	<b>ZUSAMMENFASSUNG</b>	<b>88</b>
<b>7</b>	<b>SUMMARY</b>	<b>89</b>
<b>8</b>	<b>LITERATURVERZEICHNIS</b>	<b>90</b>
<b>9</b>	<b>ANHANG</b>	<b>103</b>
<b>9.1</b>	<b>Materialien</b>	<b>103</b>
9.1.1	Geräte:	103
9.1.2	Chemikalien:	104
9.1.3	Chemikalien für die Oligonukleotidsynthese:	106
9.1.4	Enzyme:	106
9.1.5	Oligonukleotide:	106
9.1.6	Wasser:	107
9.1.7	Sonstige Materialien:	107
<b>9.2</b>	<b>Lebenslauf</b>	<b>108</b>
<b>9.3</b>	<b>Eigene Publikationen</b>	<b>109</b>

## Abkürzungs-Verzeichnis

Soweit nicht anderweitig angegeben, wurden SI-Einheiten und Präfixe verwendet.

A	Adenosin, Absorption	LB	Luria-Bertani
AMP	Adenosinmonophosphat	MALDI-	Matrix Assisted Laser Desorp-
APS	Ammoniumperoxodisulfat	TOF	tion/Ionisation-Time of Flight
ATP	Adenosintriphosphat	MS	Massenspektrometrie
bp	Basenpaare	MeIm	1-Methylimidazol
BSA	Rinderserumalbumin	NHS	N-Hydroxysuccinimid
C	Cytidin	NMN	Nikotinmononukleotid
Ci	Curie, 1Ci = 37 MBq	NMR	Kernmagnetische
CPG	controlled pore glass		Resonanzspektroskopie
cpm	Zählimpulse pro Minute	nt	Nukleotide
CTP	Cytidintriphosphat	NTP	Nukleosidtriphosphat
Da	Dalton	OD <sub>260</sub>	optische Dichte bei 260 nm
DC	Dünnschichtchromatographie	ODS	Octadecylsilyl-
DCC	Dicyclohexylcarbodiimid	p	Phosphat
DCE	1, 2-Dichlorethan	PAA	Polyacrylamid
DHB	2,6-Dihydroxybenzoesäure	PAGE	Polyacrylamid-Gelelektrophorese
DIC	Diisopropylcarbodiimid	PBS	Primerbindungsstellen
DIPEA	Diisopropylethylamin	PCR	Polymerase-Kettenreaktion
DMAP	4-Dimethylaminopyridin	PEG	Polyethylenglykol
DMF	Dimethylformamid	PRPP	Phosphoribosylpyrophosphat
DMSO	Dimethylsulfoxid	Py	Pyridin
DMTr	4,4'-Dimethoxytrityl	RNA	Ribonukleinsäure
DNA	Desoxyribonukleinsäure	RNase	Ribonuklease
DNase	Desoxyribonuklease	RP	Umkehrphase (reversed Phase)
dNTP	Desoxyribonukleosidtriphosphat	rpm	Umdrehungen pro Minute
dsDNA	doppelsträngige DNA	RT	Reverse Transkription, Raumtemperatur
DTT	Dithiothreitol	SELEX	systematische Evolution von Liganden
ε	Molarer Extinktionskoeffizient		durch exponentielle Anreicherung
E. coli	Escherichia coli	SNP	Singulärer Nukleotid-Polymorphismus
EDC	1-Ethyl-3-(3-dimethyl-aminopropyl)- carbodiimid	ssDNA	einzelsträngige DNA
		SuccA	Bernsteinsäure
EDTA	Ethylendiamintetraacetat	T, TTP	Thymidin, Thymidintriphosphat
EtCN	Cyanoethyl	Taq	Thermophilus aquaticus
g	Gramm, Erdbeschleunigung	TBAF	Tetrabutylammoniumfluorid
FMN	Flavinmononukleotid	TBE	Tris Borat EDTA-(Puffer)
Fmoc	Fluorenylmethoxycarbonyl	TBDMS	t-Butyldimethylsilyl
FRET	Fluoreszenz Resonanz Energie Transfer	TBS	Triisopropyl-benzolsulfonsäure
G, GTP	Guanin, Guanosintriphosphat	TCA	Trichloressigsäure
GPC	Gelpermeationschromatographie	TEA	Triethylamin
HABA	2-[4'-Hydroxyphenylazo]-benzoesäure	TEAAc	Triethylammoniumacetat
HBTU	2-(1-H-Benzotriazol-1yl)-1,1,3,3- tetramethyluronium-hexafluorophosphat	TEMED	N,N,N',N'-Tetramethylethylendiamin
HEG,	Hexaethylenglykol	THF	Tetrahydrofuran
Heg		TMS	Tetramethylsilan
HEPES	N-2-Hydroxyethylpiperazin-N'-2- ethansulfonsäure	Tris	Tris-(hydroxymethyl)-aminomethan
HEX	Hexyl	tRNA	Transfer RNA
HMPT	Hexamethylphosphamid	TSTU	N, N, N', N'-Tetramethy (succinimido) uronium tetrafluoroborat
HPA	3-Hydroxypicolinsäure	U	Units, Uridin
HPLC	Hochleistungs-Flüssigchromatographie	UTP	Uridintriphosphat
HTS	Screening mit hohem Durchsatz	UV	ultraviolett
iPr	Isopropyl	v/v	Volumen pro Volumen
IR	Infrarot	X	Photospaltstelle
IPTG	1-Isopropyl-β-D-1-thiogalactopyranosid	X-Gal	5-Brom-4-chlor-3-indolyl-β-D- galaktopyranosid